

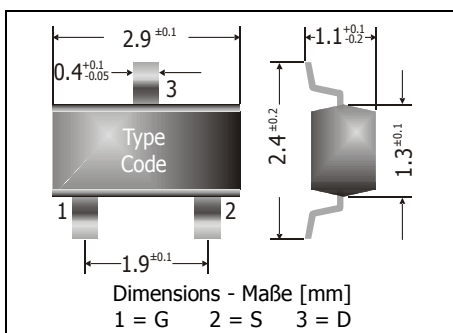
## MMFTN123

**N**

**N-Channel Logic Level Enhancement Mode Field Effect Transistor**  
**N-Kanal Logikpegel Feldeffekt-Transistor – Anreicherungstyp**

**N**

Version 2015-05-12



Power dissipation – Verlustleistung

360 mW

Plastic case

SOT-23

Kunststoffgehäuse

(TO-236)

Weight approx. – Gewicht ca.

0.01 g

Plastic material has UL classification 94V-0  
Gehäusematerial UL94V-0 klassifiziertStandard packaging taped and reeled  
Standard Lieferform gegurtet auf Rolle

### Maximum ratings ( $T_A = 25^\circ\text{C}$ )

### Grenzwerte ( $T_A = 25^\circ\text{C}$ )

		<b>MMFTN123</b>
Drain-Source-voltage – Drain-Source-Spannung	$V_{DS}$	100 V
Gate-Source-voltage – Gate-Source-Spannung	$V_{GSS}$	$\pm 20$ V
Power dissipation – Verlustleistung	$P_{tot}$	360 mW <sup>1)</sup>
Drain current – Drainstrom (dc)	$I_D$	170 mA
Peak Drain current – Drain-Spitzenstrom	$I_{DM}$	680 mA
Junction temperature – Sperrsichttemperatur Storage temperature – Lagerungstemperatur	$T_j$ $T_s$	150°C -55...+150°C

<sup>1</sup> Device mounted on standard PCB material  
Bauteil montiert auf Standard-Leiterplattenmaterial

**Characteristics ( $T_j = 25^\circ\text{C}$ )****Kennwerte ( $T_j = 25^\circ\text{C}$ )**

		<b>Min.</b>	<b>Typ.</b>	<b>Max.</b>
Drain-Source breakdown voltage – Drain-Source-Durchbruchspannung $I_D = 250 \mu\text{A}$	$V_{(\text{BR})\text{DSS}}$	100 V		
Drain-Source leakage current – Drain-Source-Leckstrom $V_{\text{DS}} = 100 \text{ V}$ $V_{\text{DS}} = 20 \text{ V}$	$I_{\text{DSS}}$			1 $\mu\text{A}$ 10 nA
Gate-Source leakage current – Gate-Source-Leckstrom $V_{\text{GS}} = \pm 20 \text{ V}$	$I_{\text{GSS}}$			$\pm 50 \text{ nA}$
Gate-Source threshold voltage – Gate-Source Schwellspannung $V_{\text{GS}} = V_{\text{DS}}, I_D = 1 \text{ mA}$	$V_{\text{GS}(\text{th})}$	0.8 V		2 V
Drain-Source on-state resistance – Drain-Source Einschaltwiderstand $V_{\text{GS}} = 10 \text{ V}, I_D = 170 \text{ mA}$ $V_{\text{GS}} = 4.5 \text{ V}, I_D = 170 \text{ mA}$	$R_{\text{DS}(\text{on})}$ $R_{\text{DS}(\text{on})}$			6 $\Omega$ 10 $\Omega$
Input Capacitance – Eingangskapazität $V_{\text{DS}} = 25 \text{ V}, f = 1 \text{ MHz}$	$C_{\text{iss}}$		73 pF	
Output Capacitance – Ausgangskapazität $V_{\text{DS}} = 10 \text{ V}, f = 1 \text{ MHz}$	$C_{\text{oss}}$		7 pF	
Reverse Transfer Capacitance – Rückwirkungskapazität $V_{\text{DS}} = 10 \text{ V}, f = 1 \text{ MHz}$	$C_{\text{rss}}$		3.4 pF	
Turn-On Delay Time – Einschaltverzögerung $V_{\text{DD}} = 30 \text{ V}, I_D = 280 \text{ mA}, V_{\text{GS}} = 10 \text{ V}, R_G = 6 \Omega$	$t_{\text{d}(\text{on})}$			3.4 ns
Turn-On Rise Time – Anstiegszeit $V_{\text{DD}} = 30 \text{ V}, I_D = 280 \text{ mA}, V_{\text{GS}} = 10 \text{ V}, R_G = 6 \Omega$	$t_r$			18 ns
Turn-Off Delay Time – Ausschaltverzögerung $V_{\text{DD}} = 30 \text{ V}, I_D = 280 \text{ mA}, V_{\text{GS}} = 10 \text{ V}, R_G = 6 \Omega$	$t_{\text{d}(\text{off})}$			31 ns
Turn-Off Fall Time – Abfallzeit $V_{\text{DD}} = 30 \text{ V}, I_D = 280 \text{ mA}, V_{\text{GS}} = 10 \text{ V}, R_G = 6 \Omega$	$t_f$			5 ns
Thermal resistance junction to ambient air Wärmewiderstand Sperrsicht – umgebende Luft	$R_{\text{thA}}$	< 500 K/W <sup>1</sup> )		

1 Device mounted on standard PCB material  
Bauteil montiert auf Standard-Leiterplattenmaterial